

УДК 538.915:(546.72-31+546.74-31)

ЭЛЕКТРОННО-ЭНЕРГЕТИЧЕСКАЯ СТРУКТУРА GaN ПРИ ЗАМЕЩЕНИИ АТОМОВ ГАЛЛИЯ АТОМАМИ ТИТАНА ИЛИ ЦИНКА

А.О. Литинский, С.И. Новиков, Д.С. Попов

Волгоградский государственный технический университет

E-mail: novikov_s@bk.ru

Статья поступила 10 октября 2011 г.

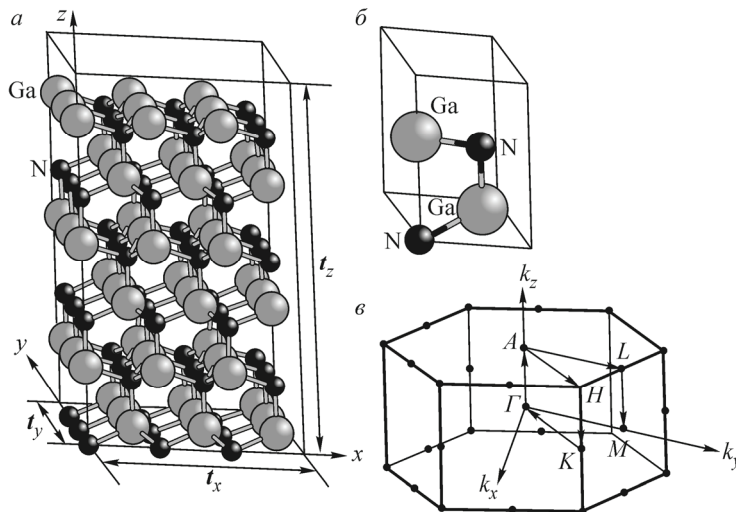
С доработки — 13 января 2012 г.

Расчетная схема на основе теории функционала плотности с полной оптимизацией геометрии, модифицированная на случай структур с трансляционной симметрией, применена к исследованию энергетического спектра электронов и магнитных характеристик гексагонального нитрида галлия и структур $Y_x\text{Ga}_{1-x}\text{N}$ (Y : донорная (Ti) или акцепторная (Zn) примесь). Обсуждена зависимость от концентрации донаторов релаксационных смещений внедренных атомов, положения уровня химического потенциала, границ энергетических зон, ширины валентных зон и энергий, отвечающих внутризонным максимумам плотности состояний.

Ключевые слова: энергетический спектр электронов, DFT-расчеты, гексагональный нитрид галлия, структуры Ti/GaN и Zn/GaN, разбавленные магнитные полупроводники.

ВВЕДЕНИЕ

Полупроводниковые приборы на широкощелевых нитридах третьей группы по многим параметрам превосходят традиционные приборы на Si и GaAs [1]. По достигнутым характеристикам особенно отличаются приборы на нитриде галлия. Этот материал обладает высокой термической, химической и радиационной стойкостью, а также по сравнению с кремнием имеет более высокую электропроводность и теплопроводность [2—5]. Все это обуславливает применение GaN в качестве активных сред высокотемпературных транзисторов, пригодных для работы даже в крайне неблагоприятных условиях. Материалы на основе нитрида галлия используются также в полупроводниковых лазерах, работающих в коротковолновой области видимого диапазона [6—9], причем частота излучения зависит от концентрации донаторов [10]. В [11] показано, что в качестве акцепторного донанта для GaN может выступать цинк, при этом соответствующие структуры Zn/GaN оказываются эффективными люминофорами. В данной работе кроме Zn/GaN изучены также структуры Ti/GaN для выяснения влияния на электронно-энергетические характеристики нитрида галлия введения ближайшего (по периодической системе) к атому галлия электронодонорного донанта (атома титана). Кроме того, структуры Zn/GaN и Ti/GaN интересны как разбавленные магнитные полупроводники (DMS — dilute magnetic semiconductors), применяемые в спинtronике (например, в спиновых светодиодах) [12]. Отметим, что системы типа D/GaN и A/GaN (D и A — донорные и акцепторные атомы, замещающие атом галлия в GaN) изучались в [12—16], причем в [12] в качестве атомов D и A атомы Ti и Zn не рассматривались; в [13] в качестве атома A не рассматривался атом Zn, а в [14—16] в качестве атома D не рассматривался атом Ti. Кроме того, рассмотренные в [13] структуры Ti/GaN и в [15] структуры Zn/GaN изучены лишь для одного значения концентра-



ческих и магнитных характеристик структур D/GaN и A/GaN от концентрации примесей. Получение и анализ этих зависимостей на примере структур Ti/GaN и Zn/GaN является целью настоящей работы.

МОДЕЛИРОВАНИЕ И СХЕМА РАСЧЕТА СТРУКТУР $Y_xGa_{1-x}N$ ($Y \equiv Ti; Zn$)

Для расчета спектра одноэлектронных состояний $\varepsilon(\mathbf{k})$ нитрида галлия, а также Ti- и Zn-замещенных структур на его основе применена расчетная схема с использованием функционала плотности (DFT), обобщенная на случай структур с трансляционной симметрией (программный пакет SIESTA [17, 18]). Кристаллическую структуру GaN (гексагональная решетка) моделировали циклической системой в форме равномерно расширенной (вдоль основных векторов трансляций) элементарной ячейки, на которую накладывали циклические граничные условия. Расчеты проведены с использованием расширенной ячейки состава $[(Ga_2N_2)_{27}]_{27}$, состоящей из $(3 \times 3 \times 3) = 27$ элементарных ячеек (ЭЯ) (внутри квадратных скобок) (рис. 1, a), каждая из которых содержит $(3 \times 3 \times 3) = 27$ примитивных ячеек (в круглых скобках) (см. рис. 1, б). Конкретные расчеты показали, что переход к расширенной ячейке больших размеров не приводит к существенному изменению рассчитываемых электронно-энергетических характеристик GaN.

Поскольку выбранная расширенная ячейка включает в себя $27 \times 27 = 729$ примитивных ячеек, столько же точек \mathbf{k} содержит зона Бриллюэна соответствующей циклической системы. Эти точки совпадают с симметричными точками гексагональной зоны Бриллюэна (см. рис. 1, в), и по ним проводится суммирование при расчете электронной плотности $\rho(\mathbf{r}) = \sum_{n,k} |\phi_{n,k}|^2$, от ко-

торой зависит обменно-корреляционный потенциал ($\phi_{n,k}$ — волновая функция электрона (одноэлектронная орбиталь); \mathbf{k} — волновой вектор; n — номер заполненной энергетической зоны).

В соответствии с теорией функционала плотности $\rho(\mathbf{k})$ однозначно определяет эффективный одноэлектронный потенциал, который содержит слагаемые, отвечающие энергии взаимодействия электрона с атомными остовами, кулоновскую часть взаимодействия с усредненным полем остальных электронов и обменно-корреляционный член $v_{xc} = \frac{\delta E_{xc}}{\delta \rho}$ (E_{xc} — обменно-корреляционная энергия) [19]. Одноэлектронные орбитали ϕ_i находят самосогласованным решением уравнений Кона—Шэма

$$(\hat{T}_i + e v_{\text{eff}}(\mathbf{r})) \phi_i(\mathbf{r}) = \varepsilon_i \phi_i(\mathbf{r}) \quad (1)$$

(\hat{T} — оператор кинетической энергии i -го электрона; ε_i — энергия i -го электрона).

В данной работе использован обменно-корреляционный потенциал Беке—Ли—Янга—Парра [20, 21] и базис валентных двухэкспонентных псевдоорбиталей с включением поляризационных орбиталей, которые имеют то же самое главное квантовое число, что и валентные

Рис. 1. Элементарная ячейка $(Ga_2N_2)_{27}$ (a), полученная $(3 \times 3 \times 3)$ переносом примитивной ячейки Ga_2N_2 вдоль основных векторов трансляций $\mathbf{t}_x/3, \mathbf{t}_y/3, \mathbf{t}_z/3$, $\angle(\mathbf{t}_x, \mathbf{t}_y) = \alpha = 120^\circ$; $\angle(\mathbf{t}_x, \mathbf{t}_z) = \beta = 90^\circ$; $\angle(\mathbf{t}_y, \mathbf{t}_z) = \gamma = 90^\circ$; примитивная ячейка Ga_2N_2 (б); зона Бриллюэна гексагональной решетки (в)

орбитали (DZP-базис). Влияние оставных электронов учитывали введением эффективного оставного потенциала Труллье—Мартинсона—Клейнмана—Биландера [22, 23]. Численное интегрирование по пространственным координатам проводили с применением сетки интегрирования, отвечающей обрезанию в разложении φ_i по плоским волнам волн с энергией, превышающей 150 Ry.

Переход от идеальной структуры GaN к структурам $Y_xCa_{1-x}N$ ($Y \equiv Ti; Zn$) проводили замещением в ЭЯ m атомов Ga на m атомов Y, причем рассмотрены случаи $m = 1, 3, 5, 7, 9$ (им соответствуют концентрации донанта $x = m/54$). Замещаемые атомы Ga выбирали внутри ЭЯ так, чтобы расстояние между ними было наибольшим. Расчет проведен с полной оптимизацией геометрии рассматриваемых структур.

РЕЗУЛЬТАТЫ РАСЧЕТОВ И ИХ ОБСУЖДЕНИЕ

Для бездефектного GaN получены следующие постоянные решетки $a = b = 3,33 \text{ \AA}$ ($a_{\text{эксп}} = b_{\text{эксп}} = 3,18 \text{ \AA}$, $c = 5,43 \text{ \AA}$ ($c_{\text{эксп}} = 5,18 \text{ \AA}$) (в соответствии с рис. 1 $a = b = t_x/3 = t_y/3; c = t_z/3$; t_x, t_y, t_z — векторы трансляции ЭЯ). Отметим, что в [24] величины a и b были получены (DFT-подход с обменно-корреляционным потенциалом Пердью, Бурке, Эрзерхофа [25]) также несколько завышенными по сравнению с экспериментальными данными, при этом отношение c/a получено таким же, как в настоящей работе и в соответствии с экспериментом ($c/a \approx 1,63$). Полученным значениям a , b и c отвечают длины связей $R(Ga-N) \approx 2,0 \text{ \AA}$ (экспериментальное значение 1,95 \AA). При переходе к Ti-замещенным структурам $R(Ti-N)$ и $R(Ga-N)$ с точностью до 0,05 \AA остаются равными $R(Ga-N)$ в незамещенной структуре. В случае же Zn-замещенных структур три связи Zn—N почти не изменяются, а четвертая связь Zn—N при малых концентрациях донанта удлиняется до $R(Zn-N) \approx 2,7 \text{ \AA}$ (образуется искаженный вдоль этой связи тетраэдр, внутри которого расположен атом цинка). При больших концентрациях дефекта длины связей Zn—N выравниваются до величины 2,0–2,2 \AA за счет того, что изменяются размеры примитивных ячеек (увеличиваются для ячеек с дефектом до 3,5 \AA и уменьшаются для ячеек, не содержащих дефект, до 3,2 \AA).

Расчеты показали, что для всех величин m наиболее выгодны (по минимуму полной энергии, приходящейся на одну элементарную ячейку) структуры с максимально возможным спином. Это означает, что для любого (ненулевого) параметра x (по крайней мере, из рассмотренных нами) структуры $Y_xGa_{1-x}N$ — магнитно активны, т.е. представляют собой разбавленные магнитные полупроводники. Отметим, что аналогичный результат получен в [13] для Ti/GaN и в [15] для Zn/GaN, но только для одного значения $x = 0,0625$. Магнитные моменты атомов (в единицах магнетона Бора) с ростом m (от 1 до 9) изменяются следующим образом: а) для $Ti_xGa_{1-x}N$ от 1,10 до 1,06–1,12 (Ti); от -0,001 до -0,03 (Ga); от -0,002 до -0,005 ($N_{(Ga)}$); от -0,04 до -0,08 ($N_{(Ti)}$); б) для $Zn_xGa_{1-x}N$ от 0,01 до 0,04–0,06 (Zn); от -0,02 до -0,01 (Ga); от 0,075 до 0,13 ($N_{(Ga)}$); от 0,04–0,67 до 0,13–0,60 ($N_{(Zn)}$). Отметим, что в Ti-замещенных структурах магнитные моменты локализованы преимущественно на атомах титана, а в Zn-замещенных структурах — на атомах азота, окружающих атомы цинка.

Рассчитанные дисперсионные кривые $\varepsilon(\mathbf{k})$ и соответствующие им плотности состояний $\eta(\varepsilon)$ для GaN и, в качестве примера, для одной из донированных структур — $Y_{1/6}Ga_{5/6}N$ ($Y \equiv Ti; Zn$) приведены на рис. 2. На рис. 3 представлена общая схема энергетического спектра электронов, в табл. 1–3 — энергетические характеристики одноэлектронных состояний для всех рассчитанных структур. Анализ этих результатов позволяет сделать следующие выводы.

Таблица 1

Энергетические характеристики (эВ) спектра одноэлектронных состояний бездефектной структуры гексагонального нитрида галлия

$(\varepsilon'_s)^{\alpha;\beta}$	$(\varepsilon''_s)^{\alpha;\beta}$	$\Delta\varepsilon_s^{\alpha;\beta}$	$(\varepsilon'_p)^{\alpha;\beta}$	$(\varepsilon''_p)^{\alpha;\beta}$	$\Delta\varepsilon_p^{\alpha;\beta}$	$\Delta\varepsilon_{sp}$	μ_α	μ_β	$\tilde{\varepsilon}'_p$	$\tilde{\varepsilon}''_p$	ε_c
-19,82	-17,30	2,52	-11,08	-4,90	6,18	6,22	-4,2215	-4,2215	-10,18	-6,18	-3,18

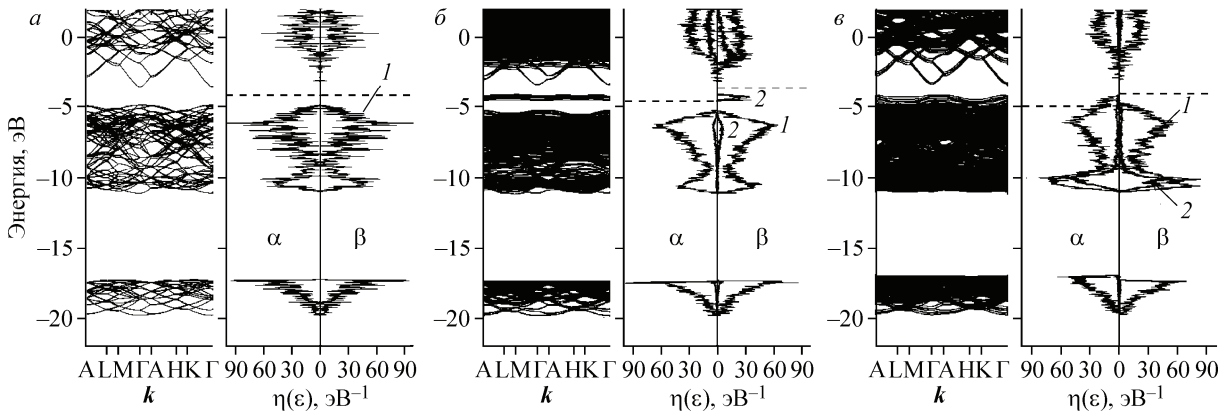


Рис. 2. Дисперсионные кривые $\epsilon(\mathbf{k})$, плотности состояний $\eta(\epsilon)$ (1 — полная; 2 — вклад орбиталей атомов Y): а — GaN, б — $\text{Ti}_{1/6}\text{Ga}_{5/6}\text{N}$, в — $\text{Zn}_{1/6}\text{Ga}_{5/6}\text{N}$ (пунктиром отмечено положение уровней химического потенциала α - и β -электронов)

Валентная зона бездефектного GaN состоит из двух подзон, преимущественный вклад в которые вносят $2s$ - и $2p$ -орбитали атомов азота. Нижняя $2s$ -подзона уже верхней $2p$ -подзоны более чем в 2 раза. Эти подзоны разделены энергетической щелью $\Delta\epsilon_{sp}$, которая уже, чем ширина $2s$ -подзоны, но шире, чем ширина $2p$ -подзоны. В зону вакантных состояний преимущественный вклад вносят валентные орбитали атомов Ga. Энергетическая щель между верхней границей $2p$ -подзоны и нижней границей зоны вакантных состояний составляет $\approx 2,2$ эВ, что ниже экспериментального значения 3,4 эВ. Отметим, что в зонных расчетах с применением схемы теории функционала плотности характеристики валентных зон обычно получаются вполне удовлетворительными, а энергии вакантных орбиталей несколько заниженными [26]. В [27] рассчитана электронно-энергетическая структура гексагонального GaN методом локального когерентного потенциала с использованием кластерной версии МТ-приближения в рамках теории многократного рассеяния. Для ширины верхней валентной $2p_N$ -подзоны было получено значение $\approx 7,1$ эВ. Примерно такое же значение получено в работе [24], в которой расчет GaN выполнен в рамках DFT-подхода с обменно-корреляционным потенциалом PBE [25]. В наших расчетах для $\Delta\epsilon_p$ получена величина $\approx 6,2$ эВ. Что касается формы кривой $\eta(\epsilon)$ для этой подзоны, то она хорошо совпадает с данными [24, 27] (имеются два максимума при $\epsilon = \epsilon'_p$ и $\epsilon = \epsilon''_p$ с такой же величиной отношения плотностей состояний $\eta(\epsilon'_p)/\eta(\epsilon''_p)$). Отметим также, что рассчитанная нами зависимость мнимой части диэлектрической проницаемости ϵ_2 (характеризует поглощающую способность GaN) как функции энергии поглощенных фотонов (рис. 4) хорошо совпадает как с экспериментальной зависимостью $\epsilon_2(\hbar\omega)$, так и с рассчитанными в [28] кривыми.

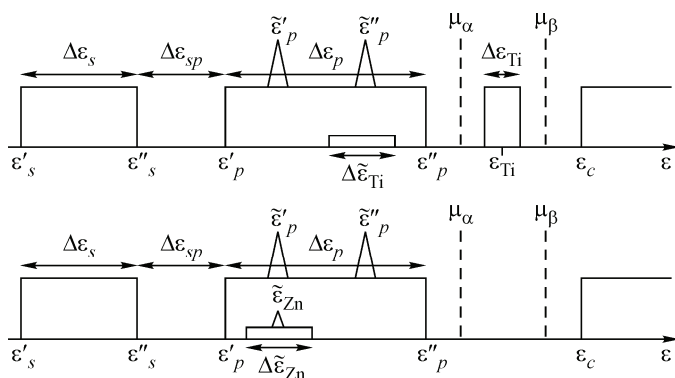


Рис. 3. Схема энергетического спектра электронов GaN, Ti/GaN и Zn/GaN

Таблица 2

Зависимость энергетических характеристик (эВ) спектра одноэлектронных состояний $Ti_xGa_{1-x}N$ от концентрации x донанта

x	1/54	3/54	5/54	7/54	9/54
$(\epsilon'_s)^{\alpha;\beta}$	-19,83	-19,84	-19,85	-19,85	-19,85
$(\epsilon''_s)^{\alpha;\beta}$	-17,29	-17,29	-17,30	-17,34	-17,40
$\Delta\epsilon_s^{\alpha;\beta}$	2,54	2,56	2,55	2,51	2,45
$(\epsilon'_p)^{\alpha;\beta}$	-11,09	-11,11	-11,13	-11,15	-11,17
$(\epsilon''_p)^{\alpha;\beta}$	-4,94	-5,02	-5,11	-5,20	-5,30
$\Delta\epsilon_p^{\alpha;\beta}$	6,15	6,09	6,02	5,95	5,87
$\Delta\epsilon_{sp}$	6,20	6,18	6,17	6,19	6,23
μ_α	-3,64	-2,86	-2,60	-2,84	-3,60
μ_β	-4,26	-4,34	-4,42	-4,49	-4,57
$\tilde{\epsilon}'_p$	-10,42	-10,75	-10,88	-10,81	-10,54
$\tilde{\epsilon}''_p$	-6,17	-6,17	-6,19	-6,23	-6,29
ϵ_c	-3,20	-3,26	-3,36	-3,48	-3,64

Таблица 3

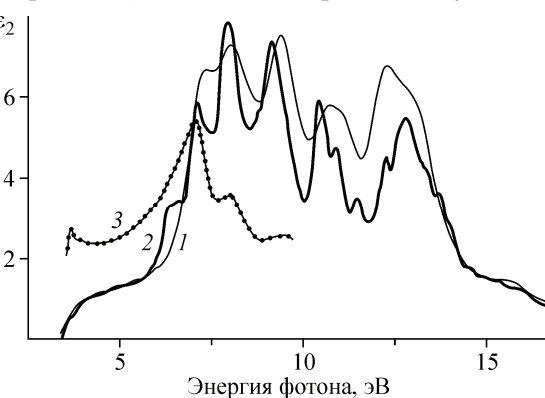
Зависимость энергетических характеристик (эВ) спектра одноэлектронных состояний $Zn_xGa_{1-x}N$ от концентрации x донанта

x	1/54	3/54	5/54	7/54	9/54
$(\epsilon'_s)^\alpha$	-19,79	-19,74	-19,69	-19,65	-19,62
$(\epsilon''_s)^\alpha$	-17,32	-17,32	-17,27	-17,16	-17,00
$\Delta\epsilon_s^\alpha$	2,47	2,42	2,42	2,49	2,62
$(\epsilon'_s)^\beta$	-19,83	-19,84	-19,82	-19,79	-19,74
$(\epsilon''_s)^\beta$	-17,35	-17,41	-17,43	-17,40	-17,32
$\Delta\epsilon_s^\beta$	2,48	2,42	2,39	2,39	2,42
$(\epsilon'_p)^\alpha$	-11,09	-11,10	-11,08	-11,05	-11,00
$(\epsilon''_p)^\alpha$	-4,65	-4,27	-4,06	-4,01	-4,13
$\Delta\epsilon_p^\alpha$	6,44	6,82	7,02	7,04	6,87
$(\epsilon'_p)^\beta$	-11,09	-11,10	-11,11	-11,10	-11,09
$(\epsilon''_p)^\beta$	-4,88	-4,84	-4,79	-4,74	-4,68
$\Delta\epsilon_p^\beta$	6,21	6,27	6,32	6,37	6,41
μ_α	-4,78	-5,54	-5,81	-5,59	-4,89
μ_β	-4,20	-4,16	-4,11	-4,05	-3,99
$\tilde{\epsilon}'_p$	-10,42	-10,72	-10,77	-10,57	-10,13
$\tilde{\epsilon}''_p$	-6,14	-6,08	-6,04	-6,03	-6,05
ϵ_c	-3,55	-4,02	-4,14	-3,91	-3,32

Для Y-замещенных структур как для α -, так и для β -электронов (α - и β -электроны имеют противоположно направленные спины) нижняя граница ϵ'_s 2s-подзоны почти не изменяется, за исключением Zn-замещенных структур с большой концентрацией атомов Zn (в этом случае ϵ'_s сдвигается в область больших энергий на $\approx 0,2$ эВ (для α -электронов) или на $\approx 0,15$ эВ (для β -электронов); верхняя граница ϵ''_s 2s-подзоны как для α -, так и для β -электронов изменяется только при больших концентрациях донанта, причем в случае замещения атомами Ti (α - и β -поляризации) ϵ''_s смещается в область более низких энергий (на $\approx 0,1$ эВ), а в случае замещения атомами Zn — более высоких энергий на $\approx 0,3$ эВ для α -поляризации, а для β -поляризации — в область более низких энергий на величину от $\approx 0,01$ (при $m = 1$) до $0,1$ эВ (при $m = 5$), и при дальнейшем росте концентрации возвращается к значению, характерному для бездефектной структуры; ширина 2s-подзоны в случае Ti-донанта уменьшается на $\approx 0,05$ — $0,10$ эВ, а в случае Zn-донанта уменьшается на величину от $\approx 0,01$ при $m = 1$ (для α - и β -поляризации) до $\approx 0,1$ при $m = 5$ (α -поляризация) и $\approx 0,15$ эВ при $m = 5$ (β -поляризация), а при дальнейшем росте концентрации Zn-донанта увеличивается на $\approx 0,1$ (α -поляризация) или $\approx 0,5$ эВ (β -поляризация).

Нижняя граница ϵ'_p 2p-подзоны для Ti-донанта смещается в область меньших энергий на величину от $\approx 0,01$ ($m = 1$) до $\approx 0,05$ эВ ($m = 9$),

Рис. 4. Зависимость мнимой части диэлектрической проницаемости ϵ_2 от энергии фотонов ($\hbar\omega$): рассчитанные в настоящей работе (1) и в [28] (2), экспериментальная кривая (3)



для Zn-допанта — в область больших энергий (для α -поляризации) на величину от $\approx 0,01$ ($m = 1$) до $\approx 0,08$ эВ ($m = 9$), а для β -поляризации ε'_p почти не изменяется. Верхняя граница ε''_p 2p-подзоны смещается: а) в случае Ti-допанта в область более низких энергий на величину от $\approx 0,05$ (при низких концентрациях) до $\approx 0,4$ эВ (при высоких концентрациях); б) в случае Zn-допанта в область более высоких энергий на величину $\Delta\varepsilon''_p$ от $\approx 0,25$ (α -поляризация) или от $\approx 0,02$ (β -поляризация) до $\approx 0,9$ эВ (α -поляризация) или $\approx 0,2$ эВ (β -поляризация) ($\Delta\varepsilon''_p$ растет с ростом концентрации донорного элемента). В результате ширина $\Delta\varepsilon_p$ 2p-подзоны для Ti-допанта уменьшается на $\approx 0,05$ — $0,30$ эВ, а для Zn-допанта увеличивается на $\approx 0,25$ — $0,70$ эВ (α -поляризация) или на $\approx 0,03$ — $0,20$ эВ (β -поляризация).

При замещении в GaN атомов Ga на атомы Ti (вносит один дополнительный электрон по сравнению с атомом Ga) или Zn (недостаток одного электрона по сравнению с атомом Ga) в области запрещенных (для GaN) энергий появляются либо донорные состояния (в случае Ti-допанта), либо акцепторные состояния (в случае Zn-допанта). Донорные состояния занимают энергетический интервал $\Delta\varepsilon_{Ti}$ примерно в середине области запрещенных энергий, а акцепторные состояния — интервал, примыкающий к верхней границе 2p-подзоны.

Максимум плотности Ti-донорных состояний с ростом концентрации донорного элемента смещается в область более низких энергий от $\varepsilon_{Ti} \approx -4,3$ ($m = 1$) до $\approx -4,5$ эВ ($m = 9$). Ширина подзоны Ti-донорных состояний увеличивается с ростом концентрации дефекта от $\approx 0,15$ ($m = 1$) до $\approx 0,5$ эВ ($m = 9$).

Поскольку интересующие нас состояния систем Ti/GaN и Zn/GaN высокоспиновые (см. выше) (количество α - и β -электронов неодинаковое), то имеет смысл вводить химический потенциал μ отдельно для α - и β -электронов. В случае Ti-допантов величина μ_α с ростом концентрации дефекта смещается в область более низких энергий на величину от $\approx 0,05$ ($m = 1$) до $\approx 0,35$ эВ ($m = 9$). Что касается величины μ_β , то при $m = 1$ она увеличивается на $\approx 0,6$ эВ; при $m = 9$ смещение в область более высоких энергий достигает максимума $\approx 1,6$ эВ; при дальнейшем росте концентрации донорного элемента снижается к значению, характерному для $m = 1$. В случае Zn-допанта величина μ_α смещается в область более низких энергий на $\approx 0,6$ ($m = 1$) и 1,6 эВ ($m = 5$), а при дальнейшем росте концентрации донорного элемента μ_α возрастает на $\approx 0,7$ эВ (при $m = 9$). Химический потенциал μ_β линейно возрастает с ростом m на величину от $\approx 0,02$ ($m = 1$) до $\approx 0,20$ эВ ($m = 9$).

Плотность состояний электронов в 2p-валентной подзоне имеет два максимума (при энергиях $\tilde{\varepsilon}'_p$ и $\tilde{\varepsilon}''_p$). В случае Ti-допанта $\tilde{\varepsilon}'_p$ смещается в область более низких энергий на $\approx 0,25$ ($m = 1$), $\approx 0,7$ ($m = 5$) и $\approx 0,35$ эВ ($m = 9$); $\tilde{\varepsilon}''_p$ при всех концентрациях донорного элемента остается примерно такой же, как для исходного GaN, кроме $m = 9$ (уменьшается на 0,1 эВ). В случае же Zn-допанта $\tilde{\varepsilon}'_p$ уменьшается с ростом m от 1 до 5 на величину от $\approx 0,25$ до $\approx 0,5$ эВ соответственно, а при дальнейшем росте концентрации донорного элемента $\tilde{\varepsilon}'_p$ увеличивается на $\approx 0,05$ эВ по сравнению с бездефектной структурой; $\tilde{\varepsilon}''_p$ смещается в область более высоких энергий на величину от $\approx 0,04$ ($m = 1$) и до $\approx 0,15$ эВ ($m = 9$).

В энергетическом спектре структур Ti/GaN в верхней части 2p-подзоны появляются состояния, отвечающие связывающим орбиталам связей Ti—N. Эти состояния образуют энергетический интервал, который увеличивается с ростом концентрации дефекта от ≈ 1 (при $m = 1$) до ≈ 4 эВ (при $m = 9$).

В случае Zn-допанта в нижней части 2p-подзоны появляются состояния, отвечающие связывающим орбиталам связей Zn—N. Парциальная плотность этих состояний характеризуется максимумом при энергии $\tilde{\varepsilon}_{Zn}$ и шириной энергетического интервала $\Delta\tilde{\varepsilon}_{Zn}$. Величина $\tilde{\varepsilon}_{Zn}$ с ростом концентрации донорного элемента смещается в область более низких энергий от $\approx -10,0$ (при $m = 1$) до $\approx -10,3$ эВ (при $m = 9$), а $\Delta\tilde{\varepsilon}_{Zn}$ возрастает от $\approx 2,1$ (при $m = 1$) до ≈ 3 эВ (при $m = 9$).

Положение нижней границы зоны вакантных состояний ε_c в случае Ti-допанта уменьшается на величину от $\approx 0,02$ ($m = 1$) до $\approx 0,45$ эВ ($m = 9$). Для Zn-допанта смещение ε_c в область более низких энергий немонотонно: оно уменьшается от $\approx 0,35$ ($m = 1$) до $\approx 1,0$ эВ ($m = 5$), затем увеличивается до $\approx 0,15$ эВ ($m = 9$).

Отметим, что учет релаксации структур, обусловленной дефектами замещения, существенно изменяет энергетические характеристики спектров одноэлектронных состояний. Кривые зависимости от концентрации донантов величин ε'_s , ε''_s , ε'_p , $\Delta\varepsilon_{sp}$, $\tilde{\varepsilon}'_p$, $\tilde{\varepsilon}''_p$ смещаются в область более высоких энергий в среднем на величину $\approx 0,3 \div 1,1$ эВ; $\Delta\varepsilon_s$, $\Delta\varepsilon_p$ — в область более низких энергий в среднем на величину $\approx 0,6 \div 0,9$ эВ, $\mu_\alpha(\text{Ti}/\text{GaN})$ почти не изменяется, $\mu_\beta(\text{Ti}/\text{GaN})$, $\mu_\alpha(\text{Zn}/\text{GaN})$ и $\mu_\beta(\text{Zn}/\text{GaN})$ сдвигаются в область более низких энергий в среднем на $\approx 0,16$, $0,41$ и $0,18$ эВ соответственно. Нижняя граница области вакантных состояний смещается в область меньших энергий в среднем на $\approx 0,7$ и $1,2$ эВ в случае Ti/GaN и Zn/GaN соответственно.

Отметим также, что учет релаксации не приводит к заметному сдвигу положения максимума плотности состояний ε_{Ti} , обусловленных орбиталями атомов титана (эта энергия соответствует примерно середине области запрещенных энергий). Что же касается состояний, обусловленных орбиталями атомов цинка, то их энергии смещаются в сторону больших энергий в среднем на $\approx 0,35$ эВ (в случае неучета релаксации структуры они примыкали к верхней границе $2p_N$ -подзоны).

ЗАКЛЮЧЕНИЕ

1. В данной работе с применением DFT-подхода с полной оптимизацией геометрии изучены спектры одноэлектронных состояний (структура энергетических зон) гексагонального нитрида галлия и GaN, модифицированного донорными (Ti) и акцепторными (Zn) элементами. Корректность проведенного расчета обусловлена удовлетворительным согласием полученных электронно-энергетических и оптических характеристик GaN как с результатами расчета других авторов, так и с экспериментом.

2. Замещение в структуре GaN атомов галлия атомами титана (донорный донант): а) не приводит к существенной релаксации кристаллической структуры; б) приводит к появлению подзоны (ширина которой возрастает с увеличением концентрации донанта) донорных состояний с максимумом плотности состояний электронов в центре зоны запрещенных (для GaN) состояний.

3. Введение в структуру GaN акцепторного Zn-допанта приводит к следующему: а) при малых концентрациях донанта имеет место существенная релаксация структуры преимущественно в области локализации донанта и его ближайшего окружения; б) при больших концентрациях донанта существенно искажаются примитивные ячейки, отвечающие недопированной структуре: размер ячеек, атомы галлия в которых замещены атомами цинка, увеличивается, а ячеек, в которых атомы галлия остаются незамещенными — уменьшается; в) вблизи потолка верхней валентной $2p_N$ -подзоны образуется узкая подзона акцепторных состояний; г) имеет место небольшой сдвиг относительно друг друга α - и β - $2p_N$ -подзон, который увеличивается с ростом концентрации донанта.

4. Структурная релаксация, обусловленная допированием, для всех концентраций донанта приводит также: а) к смещению границ валентных подзон в область более высоких энергий; б) к смещению нижней границы зоны вакантных состояний в область более низких энергий; в) к уменьшению ширине валентных подзон и области запрещенных энергий.

5. Введение в структуру GaN как донорного Ti-, так и акцепторного Zn-допанта приводит к появлению спинового магнетизма (образуются магнитные полуметаллы), причем с увеличением концентрации донантов намагниченность (магнитный момент, приходящийся на единицу объема вещества) увеличивается. При этом магнитные моменты преимущественно локализованы для структур Ti/GaN на атомах титана, а для Zn/GaN — на атомах азота, окружающих атомы цинка.

СПИСОК ЛИТЕРАТУРЫ

1. Васильев А., Данилин В., Жукова Т. // Электроника: Наука, Технология, Бизнес. – 2007. – № 4. – С. 68.
2. AlShaikhi A., Saswati Barman, Srivastava G.P. // Phys. Rev. B. – 2010. – **81**. – P. 1.
3. Danilchenko B.A., Obukhov I.A., Paszkiewicz T. et al. // Solid State Comm. – 2007. – **144**. – P. 7.
4. Kawamura T., Kangawa Y., Kakimoto K. // J. Crystal Growth. – 2005. – **1-2**. – P. 197.
5. Yu X.G., Liang X.G. // Appl. Phys. Lett. – 2007. – **16**. – P. 1711.
6. Leszczynski M. // Nanofair 2004. New Ideas for Industry. – 2004. – **1839**. – P. 59.
7. Xiaojun Ye, Xiaopeng Zhu, Yun Xu et al. // Chin. J. Semicond. – 2004. – **25**. – P. 1004.
8. Alahmadi N.A., Harrison I., Badr K.H. // Internat. Semicond. Device Res. Symposium. – 2007. – P. 712.
9. Philip A. Shields, Martin D.B. Charlton, Tom Lee et al. // J. Select. Top. Quant. Electron. – 2009. – **15**. – P. 1269.
10. Nakamura S. et al. // Jap. J. Appl. Phys. Part II. – 1999. – **38**, N 7a. – P. 3976.
11. Amano H., Kito M., Hiramatsu K., Akasaki I. // Jpn. J. Appl. Phys. – 1989. – **28**. – P. L2112.
12. Liu C., Yun F., Morkoc H. // J. Mater. Sci.: materials in electronics. – 2005. – **16**. – P. 555 – 597.
13. Xiong Zh. et al. // Chem. Phys. Lett. – 2007. – **443**. – P. 92 – 94.
14. Di Valentin C. // J. Chem. Phys. – 2010. – **114**. – P. 7054 – 7062.
15. Xing H. et al. // Acta Phys. Sinica. – 2009. – **58**. – P. 3324 – 3330.
16. Lee S.H. et al. // J. Ceram. Proc. Res. – 2010. – **11**. – P. 273 – 276.
17. Soler J.M., Artacho E., Gale J.D. et al. // J. Phys.: Condens. Matter. – 2002. – **14**. – P. 2745.
18. Ordej'on P. // Phys. Stat. Sol. (b). – 2000. – **217**. – P. 335.
19. Koch W., Holthausen M.C. A chemist's guide to density functional theory. – Weinheim: WILEY-VCH Verlag GmbH, 2001.
20. Becke A.D. // Phys. Rev. A. – 1988. – **38**. – P. 3098.
21. Lee C., Yang W., Parr R.G. // Phys. Rev. B. – 1988. – **37**. – P. 785.
22. Troullier N., Martins J.L. // Phys. Rev. B. – 1991. – **43**. – P. 1993.
23. Kleinman L., Bylander D.M. // Phys. Rev. Lett. – 1982. – **48**. – P. 1425.
24. Li E., Hou L., Li L. et al. // J. Phys.: Conference Series. – 2011. – **276**. – P. 012044.
25. Perdew J.P., Burke K., Ernzerhof M. // Phys. Rev. Lett. – 1996. – **77**. – P. 3865.
26. Горкавенко Т.В., Зубкова С.М., Русина Л.Н. // ФиТП. – 2007. – **41**. – С. 661.
27. Илясов В.В., Жданова Т.П., Никифоров И.Я. // ФТТ. – 2006. – **48**. – С. 614.
28. Соболев В.В., Стерхова М.А. // Светодиоды и лазеры. – 2003. – № 1-2. – С. 87.